

KRŠITEV SIMETRIJE CP V SISTEMU NEVTRALNIH MEZONOV B

Peter Kržan

Univ. of Ljubljani in Institut J. Stefan

7. oktober 2002
Kolokvij Oddelka za fiziko

- ◆ Uvod in košček zgodovine
- ◆ Eksperimentalna aparatura
- ◆ Meritev kršitve simetrije CP v sistemu neutralnih mezonov B
- ◆ Pogled v prihodnost
- ◆ Zaključek





Kršitev simetrije CP



Fundamentalna količina: loči materijo in od antimaterije

Košček zgodovine

- ❖ Odkrita pri razpadih mezonov K^0 leta 1964
- ❖ Meritev mešanja v sistemu nevtralnih mezonov $B^0 - \bar{B}^0$ s spektrometrom ARGUS leta 1987 je pokazala, da bi kršitev simetrije CP znala biti znatna pri razpadih mezonov B
- ❖ Kar nekaj poskusov je bilo predlaganih, nekaj univerzalnih spektrometrov jo je poskušalo izmeriti
- ❖ Izmerjena v sistemu $B^0 - \bar{B}^0$ leta 2001 z dvema predvsem v ta namen zgrajenima spektrometroma Belle in BaBar ob asimetričnih trkalnikih elektronov in pozitronov



Kršitev simetrije CP v Standardnem Modelu



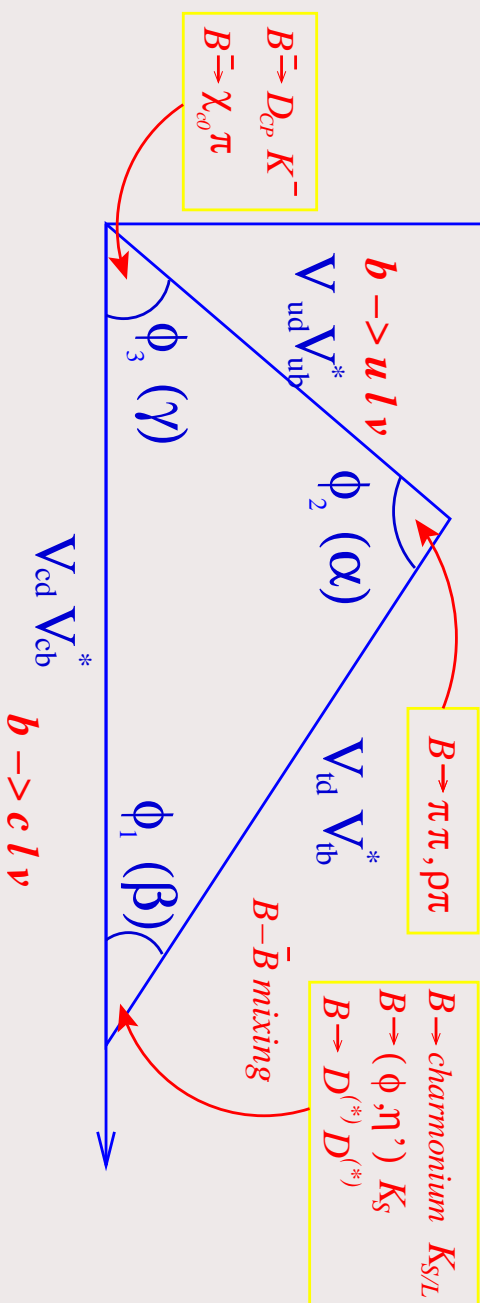
Kršitev simetrije CP popišemo s kompleksno mešalno matriko za kvarke (CKM - Cabibbo, Kobayashi, Maskawa), ki v principu ne more biti realna

$$\begin{pmatrix} V_{ud} & V_{us} & V_{ub} \\ V_{cd} & V_{cs} & V_{cb} \\ V_{td} & V_{ts} & V_{tb} \end{pmatrix} = \begin{pmatrix} 1 - \frac{\lambda^2}{2} & \lambda & A\lambda^3(\varrho - i\eta) \\ -\lambda & 1 - \frac{\lambda^2}{2} & A\lambda^2 \\ A\lambda^3(1 - \varrho - i\eta) & -A\lambda^2 & 1 \end{pmatrix}$$

Unitarnost matrike V vodi do pogojev za matrične elemente, na primer

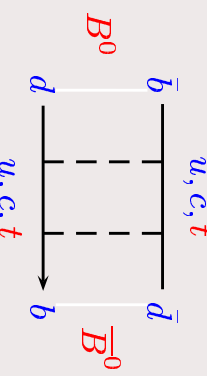
$$V_{ud}V_{ub}^* + V_{cd}V_{cb}^* + V_{td}V_{tb}^* = 0.$$

\rightarrow unitarni trikotnik





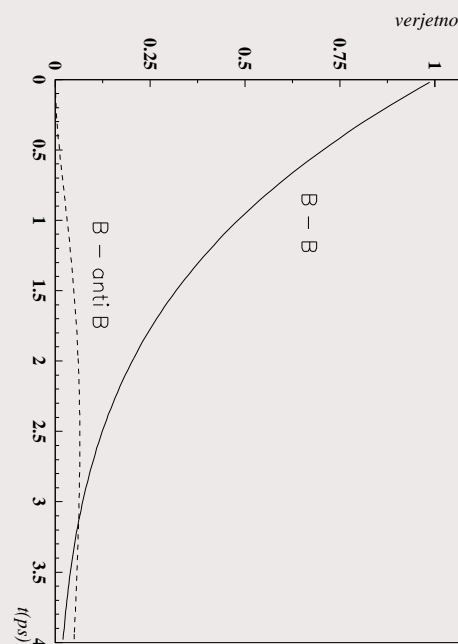
Mlešanje v sistemu nevtralnih mezonov B^0



mezon B^0 se z znatno verjetnostjo pretvori v \bar{B}^0 , preden razpade

$$|\langle B^0 | B^0(t) \rangle|^2 = e^{-t/\tau} \cos^2 \frac{\Delta m t}{2} = \frac{1}{2} e^{-t/\tau} (1 + \cos \Delta m t)$$

$$|\langle \bar{B}^0 | B^0(t) \rangle|^2 = e^{-t/\tau} \sin^2 \frac{\Delta m t}{2} = \frac{1}{2} e^{-t/\tau} (1 - \cos \Delta m t)$$



$$\Delta m = 0.5 \text{ ps}^{-1} \quad \tau = 1.5 \text{ ps}$$



Kršitev simetrije CP pri mezonih B



Kršitev simetrije CP pri mezonih B : potencialno velik efekt zaradi interference amplitud za direktni razpad v končno stanje f_{CP} z določeno vrednostjo parnosti CP in razpad po mešanju.



To povzroči asimetrijo v verjetnosti za razpad:

$$A_{CP}(t) \equiv \frac{\Gamma(\bar{B}^0(t) \rightarrow f_{CP}) - \Gamma(B^0(t) \rightarrow f_{CP})}{\Gamma(\bar{B}^0(t) \rightarrow f_{CP}) + \Gamma(B^0(t) \rightarrow f_{CP})}$$

$$= S_f \sin \Delta m_d t$$

Napovedi standardnega modela

- f_{CP} : $J/\psi K_S^0$, $CP = -1$,
- f_{CP} : $J/\psi K_L^0$, $CP = +1$,
- f_{CP} : $\pi^+ \pi^-$, $CP = -1$,

$$S_f = \sin 2\phi_1$$

$$S_f = -\sin 2\phi_1$$

$$S_f = -\sin 2\phi'_2$$

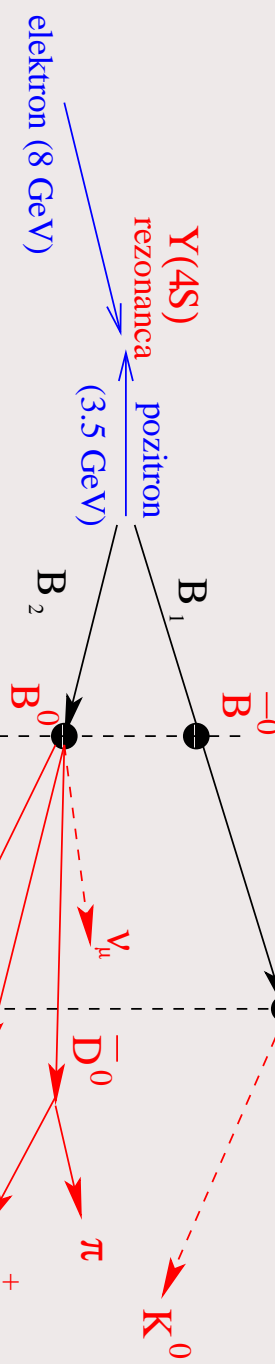


Meritev kršitev CP -princip



**meritev
verteksov**

μ^+ **rekonstruiran B**



$$\Delta z \sim 200 \text{ m}$$

oznaka okusa

- Potrebujemo:
- veliko število parov $B\bar{B}$ (100 M)
- \rightarrow tovarna mezonov $B =$ trkalnik e^+e^- z veliko luminoznostjo in z asimetričnima energijama žarkov
- in spektrometer z :
- ◆ načinom detektorjem verteksov (Δt iz Δz)
- ◆ načinom sledenjem v magnetnem polju (gibalne količine razpadnih produktov)
- ◆ učinkovito identifikacijo e, μ, π, K (označevanje okusa B)



Delovanje trkalnika KEKB 1



merilo za zmogljivost trkalnika:

luminoznost L

število zaznanih reakcij = $L\sigma$,

σ je presek za reakcijo

najvišja luminoznost

$$= 7.348 \cdot 10^{33} \text{ cm}^{-2}\text{s}^{-1}$$

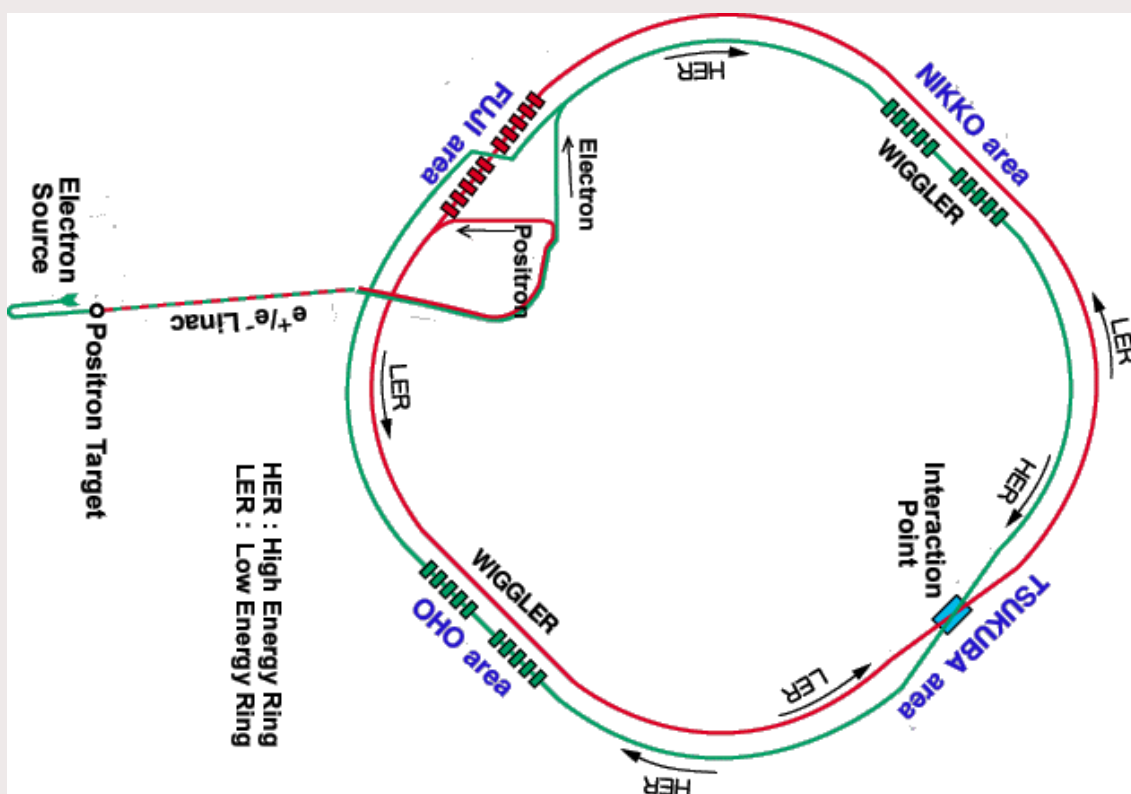
integrirana luminoznost v:

$$24 \text{ h} = 409.8 \text{ /pb}$$

$$7 \text{ dneh} = 2524. \text{ /pb}$$

$$\text{mesecu} = 7348. \text{ /pb}$$

→ v dveh dneh naberemo toliko, kot smo pri ARGUSu nabrali v nekaj letih!



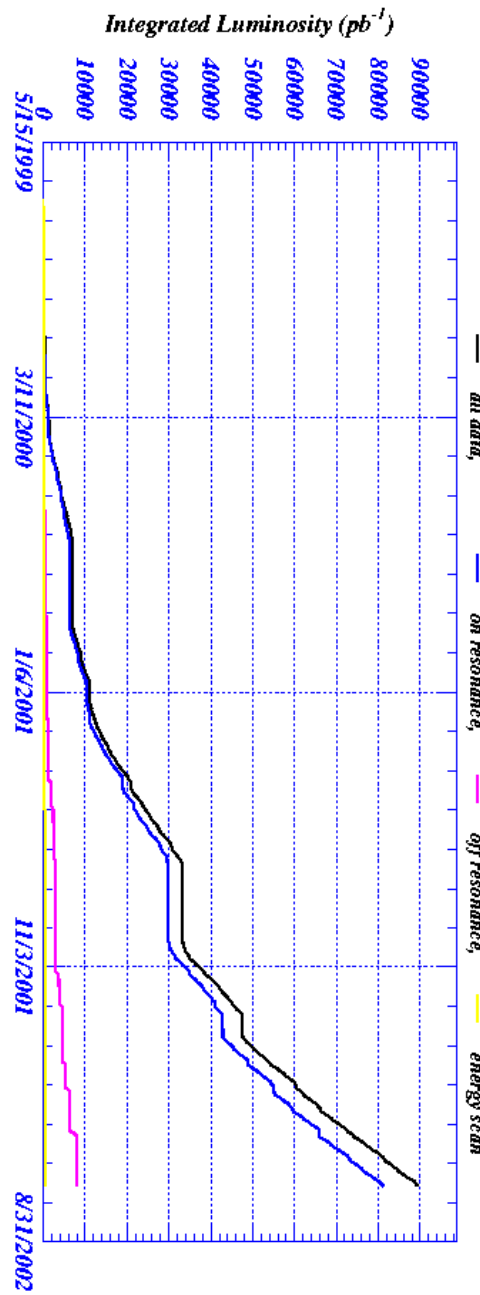
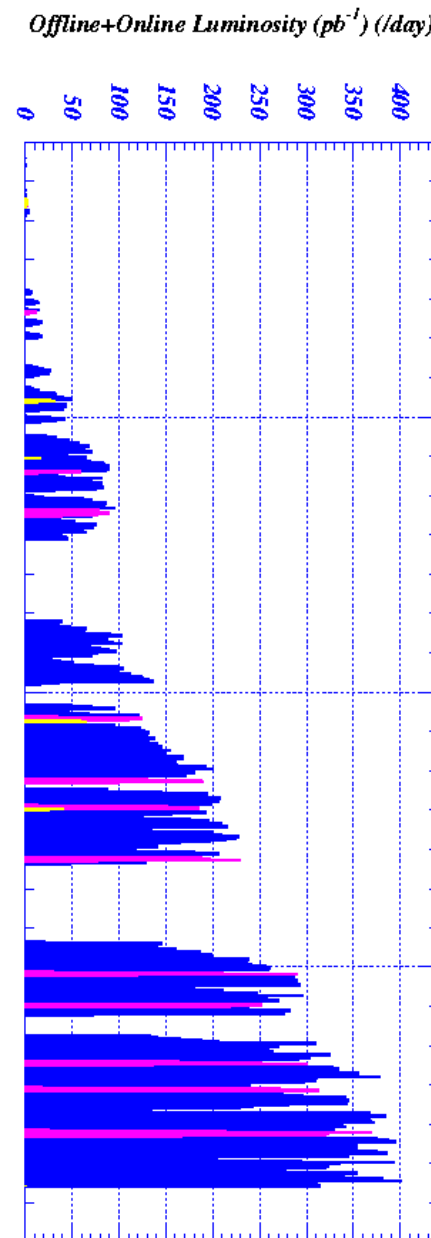


Delovanje trkalnika KEKB 2



Offline+Online Luminosity (pb^{-1}) (/day) 2002/07/04 09:12

■ on resonance, ■ off resonance, ■ energy scan



Belle log total : 89605.7 pb^{-1}

runinfo ver.1.43 Exp3 Run1 - Exp19 Run1709 BELLE LEVEL latest

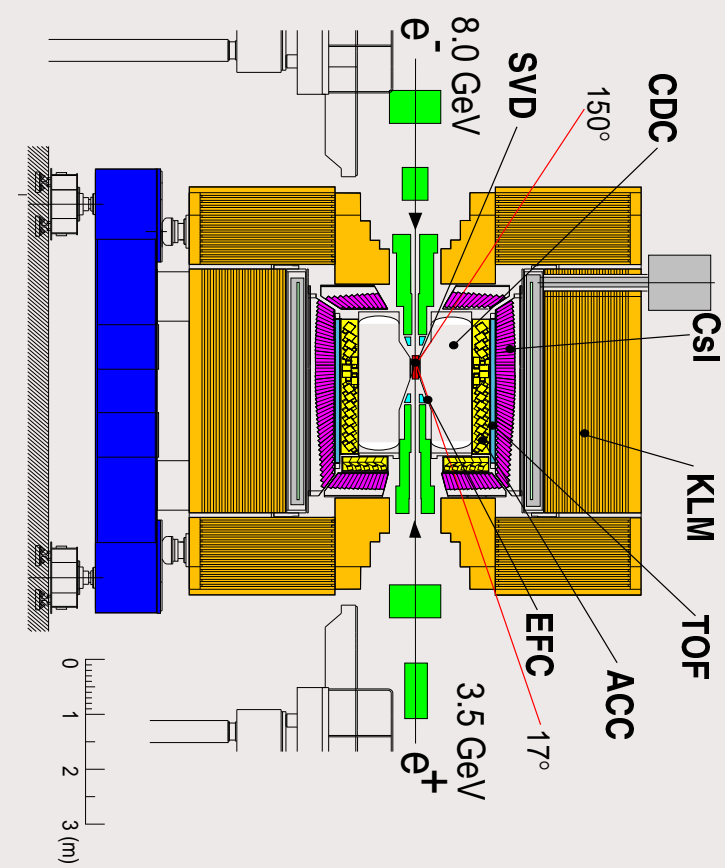


Delovanje spektrometra Belle



Sledilni sistemi

- ◆ central drift komora (CDC)
50 plasti
 $\frac{\sigma_{pT}}{p_T} \approx 0.35\% \text{ at } 1 \text{ GeV/c}$
- ◆ silicijev detektor verteksov (SVD)
3 dvostranske silicijeve plasti
vpadni parameter $\sigma = 55 \mu\text{m}$
za sledi s $p = 1 \text{ GeV/c}$ (90°)

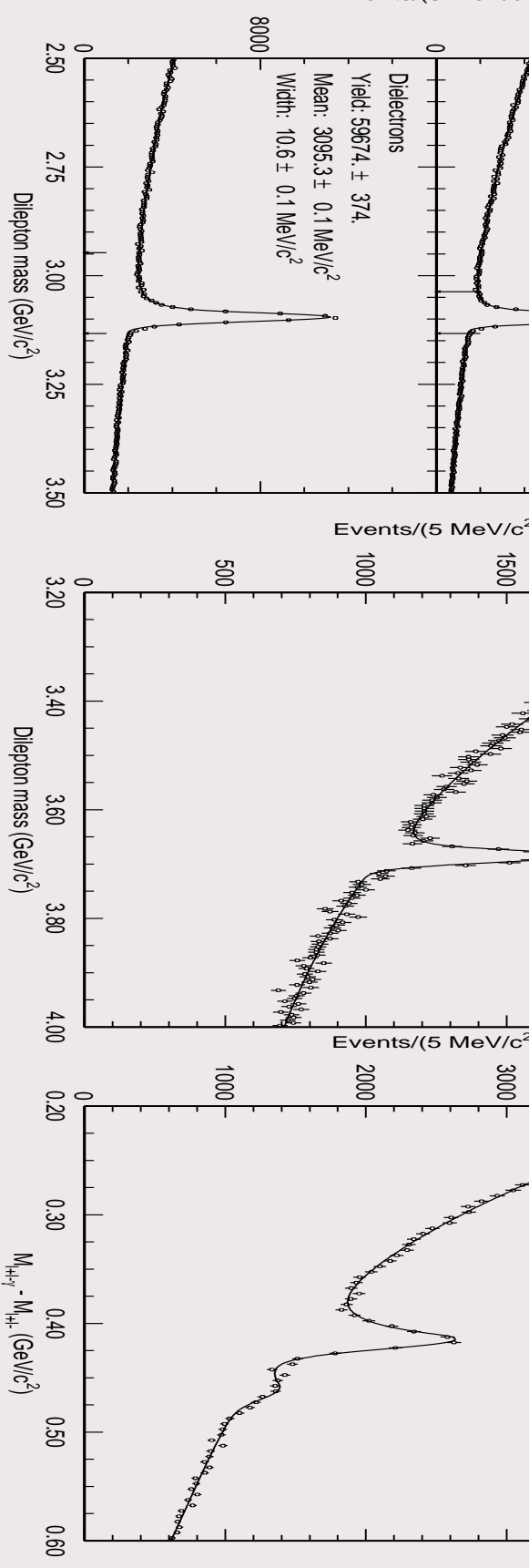
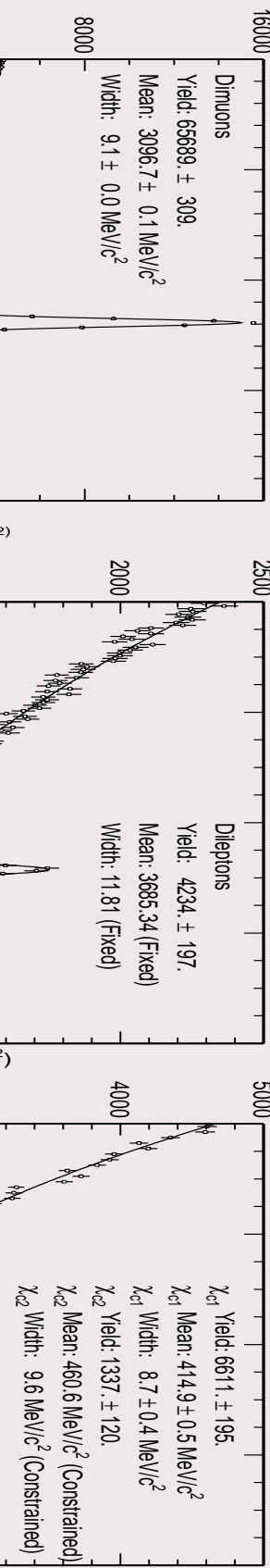


identifikacija razpadnih produktov:

- identifikacija K^\pm do 3.5 GeV/c (izkoristek $\approx 90\%$, napačna id. $\approx 6\%$)
- ◆ pravgovni Čerenkov števec z aerogelom (ACC): $n = 1.01\text{-}1.03$
- ◆ števec časa preleta (TOF): $\sigma = 95 \text{ ps}$
- ◆ dE/dx v drift komori (CDC): $\sigma_{dE/dx} \approx 7\%$
- elektronska id: elektromagnetni kalorimeter (CsI(Ti)) $\frac{\sigma_E}{E} \approx 1.8\%$ at 1 GeV
- detektor K_L in mionov (KLM): 14 plasti, $\epsilon_\mu > 90\%$ at napačna id. 2%



Rekonstrukcija razpadov $B^0 \rightarrow (c\bar{c})K_S$



$$J/\psi \rightarrow \mu^+ \mu^-, e^+ e^-$$

$$\sigma_M = 9.6(10.7) \text{GeV}/c^2$$

$$\psi(2s) \rightarrow \mu^+ \mu^-, e^+ e^-$$

$$\sigma_M = 12.1 \text{GeV}/c^2$$

$$\chi_{c1}, \chi_{c2} \rightarrow J/\psi \gamma$$

$$\sigma_{\Delta M} = 7.0 \text{GeV}/c^2$$



Rekonstrukcija $B^0 \rightarrow (c\bar{c}) K_S$



Kratkoživi kaon razpade tipično po nekaj cm na dva načina:

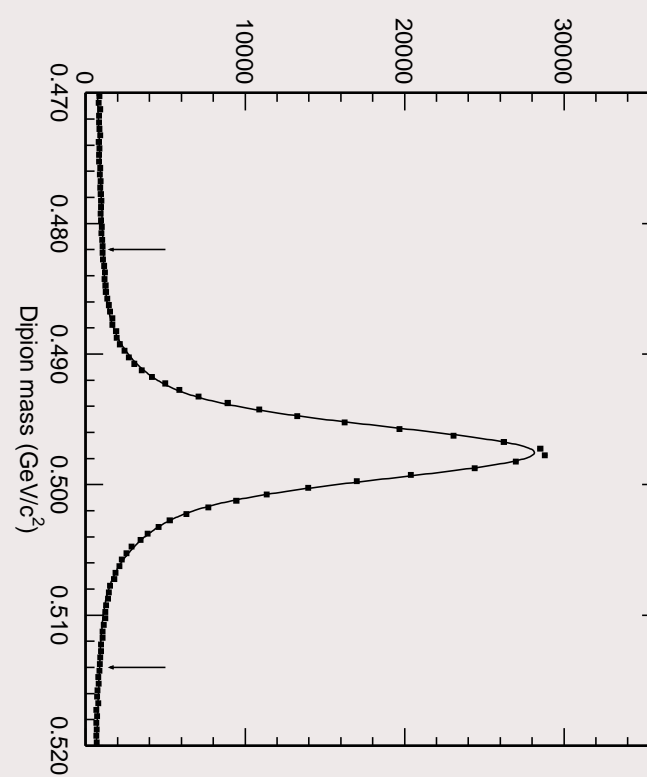
$$K_S \rightarrow \pi^+ \pi^-$$

$$K_S \rightarrow \pi^0 \pi^0$$

Običajno ga rekonstruiramo v razpadu v dva nabitia piona, v pričujoči analizi pa smo uspeli uporabiti tudi bistveno bolj zahtevni kanal

$$K_S \rightarrow \pi^0 \pi^0$$

$$\pi^0 \rightarrow \gamma\gamma$$

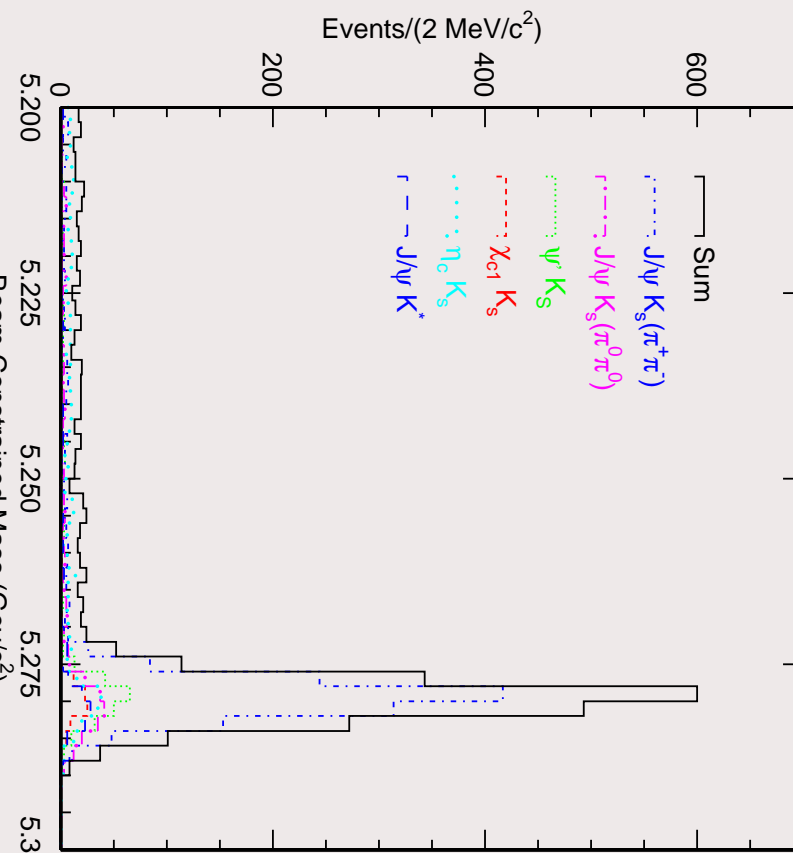


$$\sigma_M = 4.1 \text{ GeV}/c^2$$



Rekonstrukcija lastnih stanj CP tipa $b \rightarrow c\bar{c}s$ CP

Rekonstruirani razpadni kanali



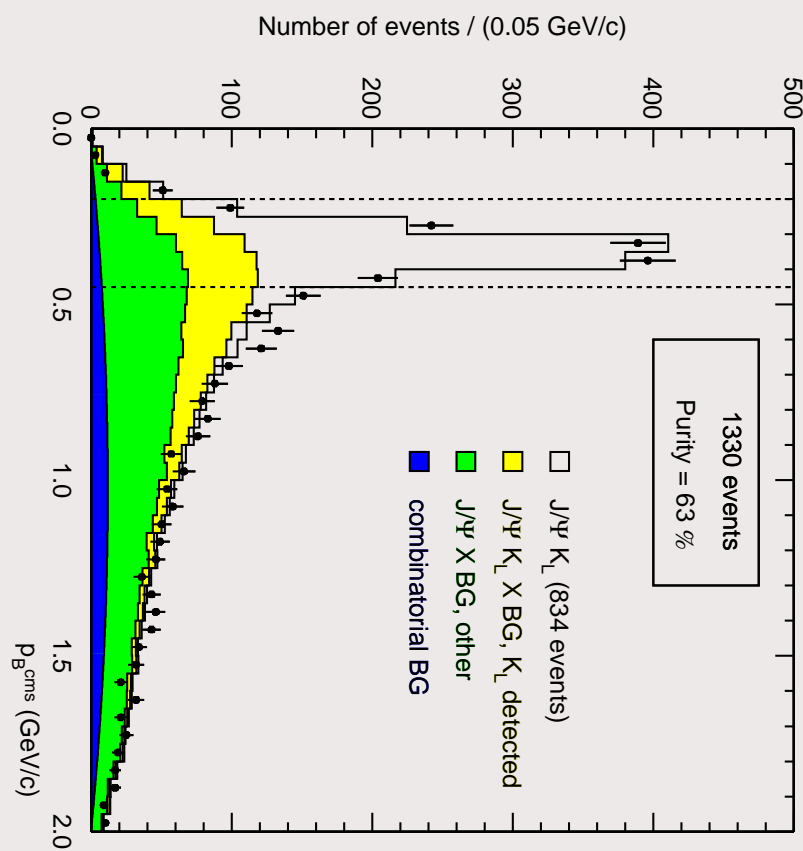
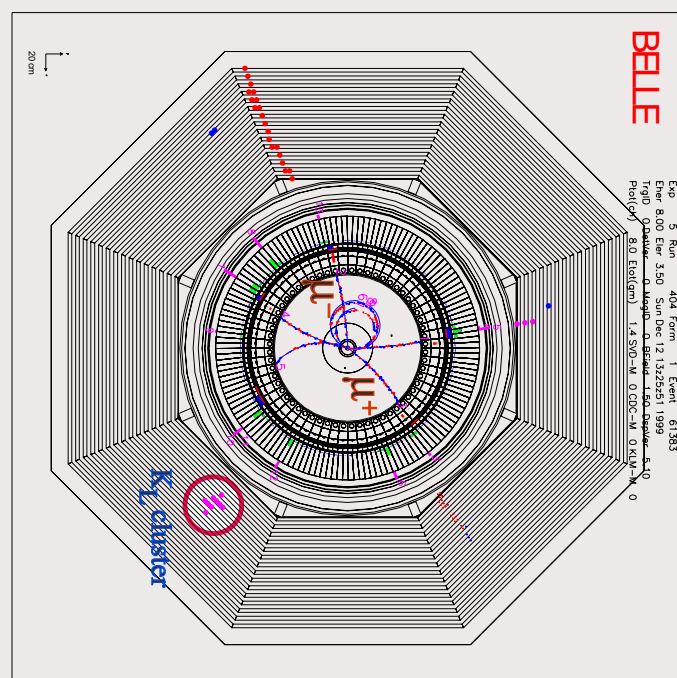
$B^0 \rightarrow$	dogodkov	$\frac{S}{S+N}$
$J/\psi K_S (K_S \rightarrow \pi^+ \pi^-)$	1285	.976
$J/\psi K_S (K_S \rightarrow \pi^0 \pi^0)$	188	.824
$\psi(2S) K_S$		
$(\psi(2S) \rightarrow \ell^+ \ell^-) K_S$	91	.957
$(\psi(2S) \rightarrow J/\psi \pi^+ \pi^-)$	112	.911
$\chi_{c1} K_S$		
$\eta_c (\eta_c \rightarrow K_S K \pi) K_S$	72	.958
$\eta_c (\eta_c \rightarrow K K \pi^0) K_S$	49	.646
$\eta_c (\eta_c \rightarrow p \bar{p}) K_S$	21	.725
$J/\psi K^* (K^* \rightarrow K_S \pi^0)$	101	.936
$skupno CP = -1$	1996	.917
$J/\psi K_L, CP = +1$	1330	.935
skupno	3326	.807

$$M_{bc} = \sqrt{E_{\text{beam}}^2 - \vec{p}_{\text{B candidate}}^2}$$

Rekonstrukcija $CP = +1$: $B^0 \rightarrow J/\psi K_L$



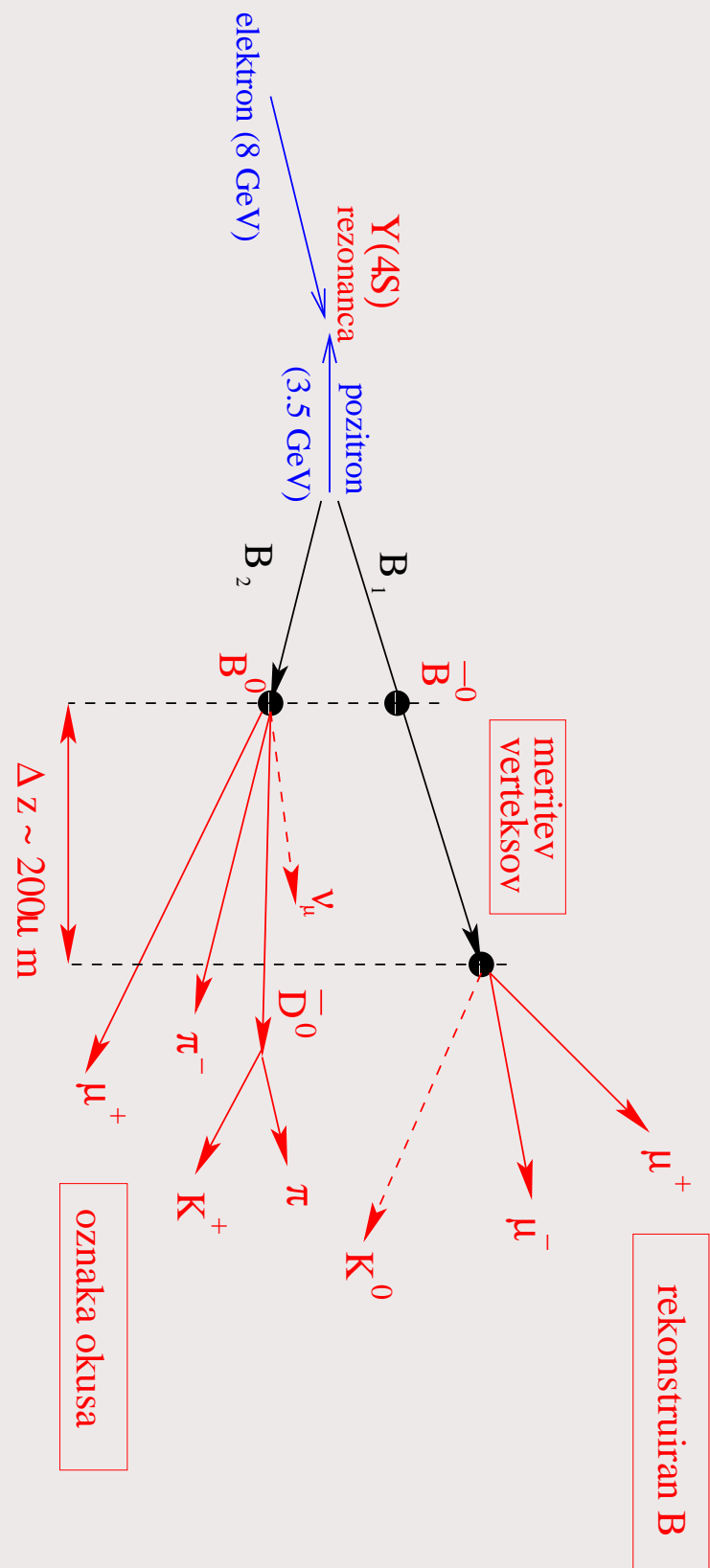
- ♦ detekcija K_L v KLM in ECL
 - ♦ samo smer K_L , ne energije



- ◆ $p^* \approx 0.35 \text{ GeV}/c$ za signalne dogodke
 - ◆ obliko ozadja določimo s simulacijo, višino pa iz podatkov



Meritev kršitve CP - nadaljevanje



Za vsak dogodek določimo Δt iz $\Delta z = \beta \gamma c \Delta t$:

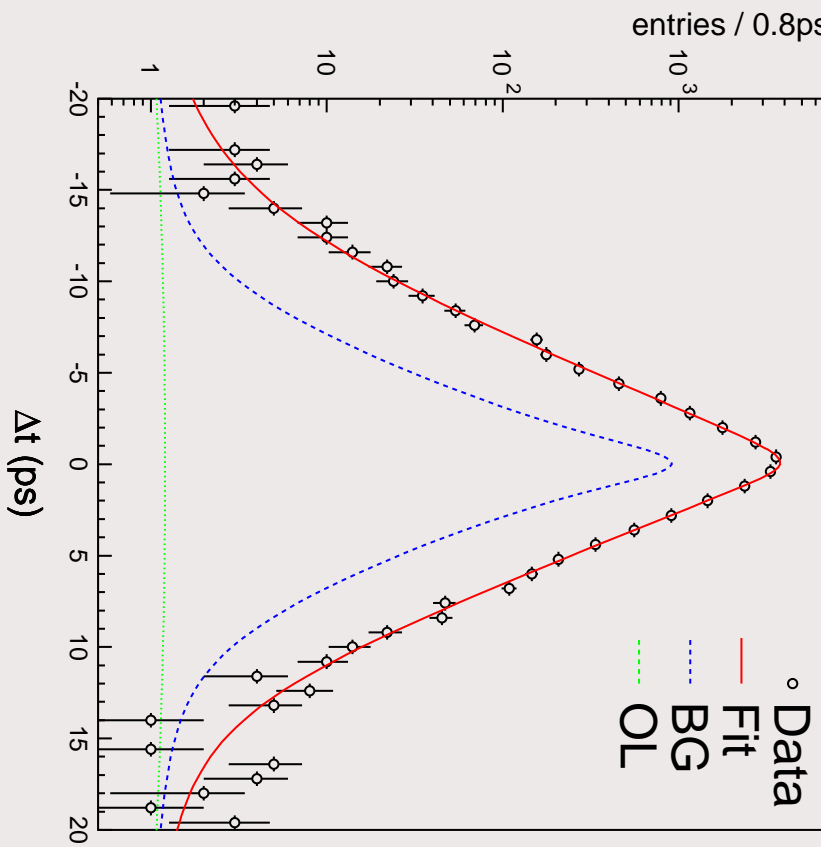
- začetek štetja časa: ločljivost na označevalni strani $140 \mu\text{m}$ ($\epsilon = 91\%$)
 - konec štetja časa: ločljivost na CP strani $75 \mu\text{m}$ ($\epsilon = 92\%$)
- tipično $\Delta z = \beta \gamma c \tau_B = 200 \mu\text{m}$



Meritev Δz : preverjanje



Ponovimo meritev razpadnega časa s kanali $B^0 \rightarrow D^- \pi^+$, $D^{*-} \pi^+$, $D^{(*)-} \rho^+$,
 $B^0 \rightarrow J/\psi K_S$ in $B^0 \rightarrow J/\psi K^{*0}$



- ❖ ločljivost: 1.43 ps
- ❖ razpadni čas B^0 1.551 ± 0.018 (stat) ps
- ❖ svetovno povprečje: 1.542 ± 0.016 ps



Označevanje okusa 1



Določimo, ali je v stanje z določeno CP parnostjo razpadel B^0 ali \bar{B}^0 , tako da gledamo naboje razpadnih produktov asociranega mezona B

Inkluzivni leptoni

- ◆ ℓ^- z veliko gib. količino $b \rightarrow c\ell^-\nu$
- ◆ ℓ^+ s srednje veliko gib. količino $c \rightarrow s\ell^+\nu$

Inkluzivni hadroni

- ◆ π^+ z veliko gib. količino $B^0 \rightarrow D^{(*)-}\pi^+, D^{(*)-}\rho^+(\rho^+ \rightarrow \pi^+\pi^0), \dots$
- ◆ K^+ s srednje veliko gib. količino $\rightarrow K^+X$
- ◆ π^- z nizko gib. količino $D^{(*)-} \rightarrow \bar{D}^0\pi^-$

Izkoristek $> 99.5\%$, $\epsilon_{\text{efektivna}} = 28.8 \pm 0.5\%$



Označevanje okusa 2



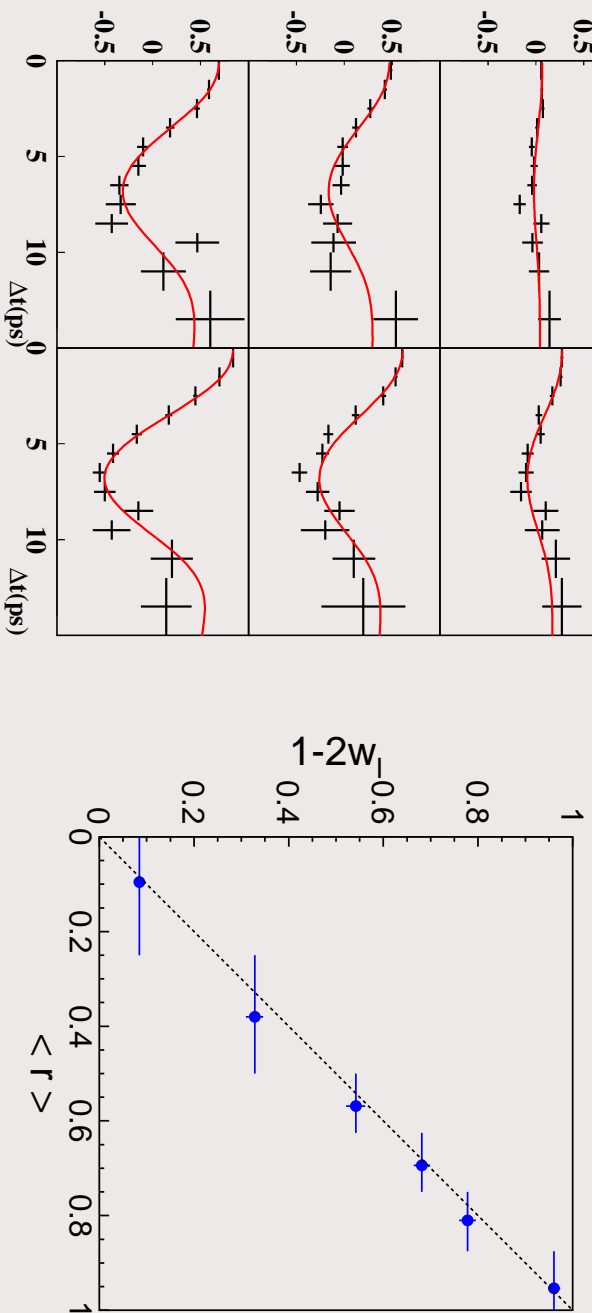
Označevanje ni idealno: vedno je mogoče (z verjetnostjo w), da je oznaka napačna (manj za leptone, več za kaone).

- oscilacija asimetrije se zmanjša, sin $\Delta m_d t \rightarrow (1 - 2w) \sin \Delta m_d t$.
- Potrebujemo: w za vsak dogodek.

Dogodeke uredimo v šest kategorij v spremenljivki r , katere vrednost določimo s pomočjo simulacije na podlagi lastnosti dogodka.

Zvezo med $(1 - 2w)$ in r kalibriramo s podatki: merimo mešalno amplitudo $B^0 \bar{B}^0$ (v kanalih $\bar{B}^0 \rightarrow D^{*+} \ell^- \nu$, $D^{(*)+} \pi^-$ in $D^{(*)+} \rho^-$) v 6 intervalih v r

$$(\text{OF-SF})/(\text{OF+SF})$$



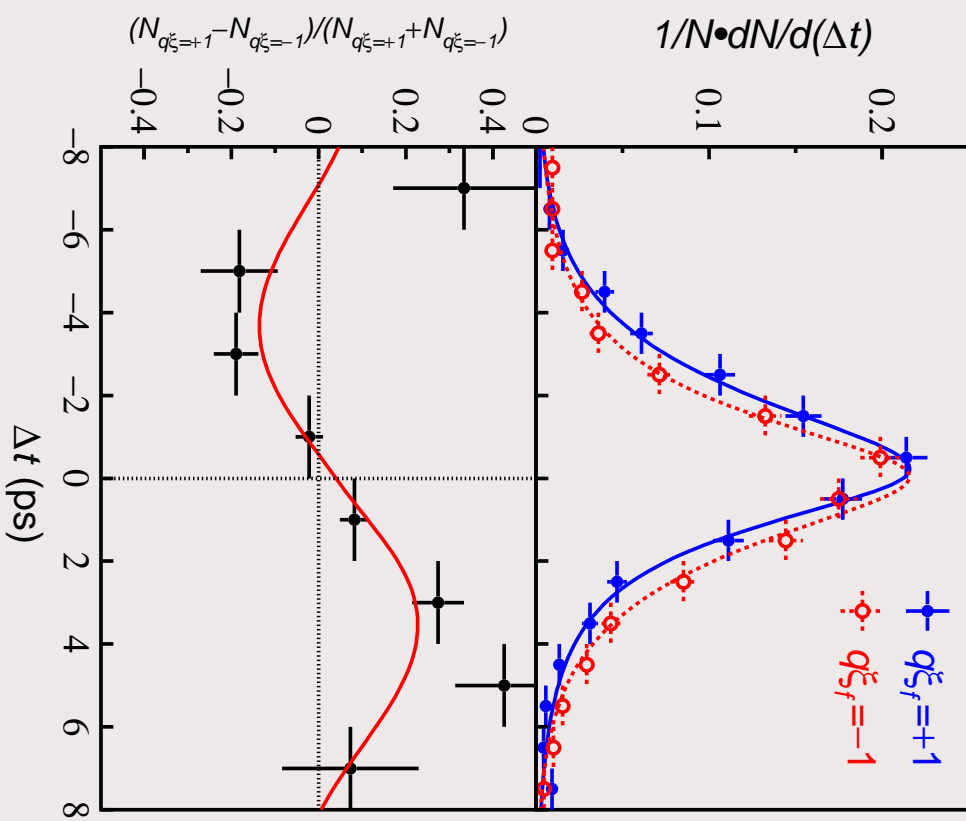


Rezultat s celotno nabranou statistiko (78 fb^{-1} , 85M $B\bar{B}$)



CP je kršena! Rdeče točke se razlikujejo od modrih.

Rdeče točke: $\bar{B}^0 \rightarrow f_{CP=-1}$ (or $B^0 \rightarrow f_{CP=+1}$)
 Modre točke: $B^0 \rightarrow f_{CP=-1}$ (or $\bar{B}^0 \rightarrow f_{CP=+1}$)



Rezultat prilagajanja s fisknim $A_{ccs} = 0$:

$$-S_{ccs} = \sin 2\phi_1 = 0.719 \pm 0.074 \pm 0.035$$

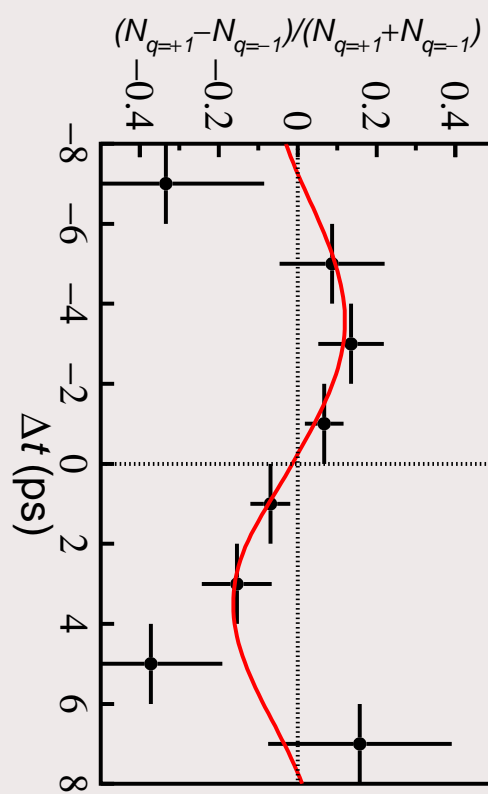
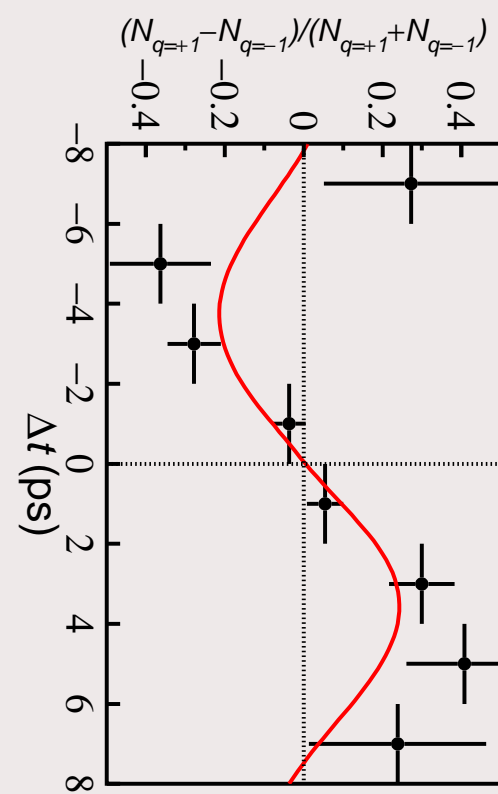
s prostima A_{ccs} in S_{ccs} :

$$|\lambda_{ccs}| = 0.950 \pm 0.046 \pm 0.026$$

A_{ccs} je konsistenten z 0



Primerjava med $CP = +1$ in $CP = -1$



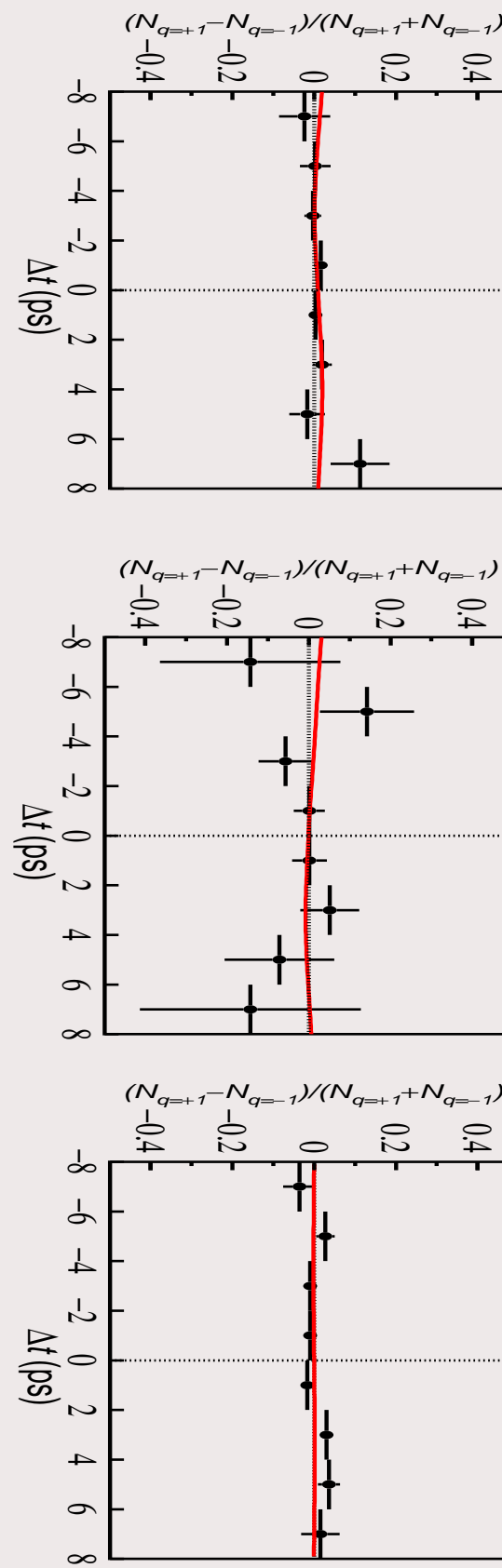
Pozor: amplituda $\pm \sin 2\phi_1 \sin \Delta m_d \Delta t$ je zmanjšana zaradi napačno označenih dogodkov za faktor $(1 - 2w)$.



Preverjanja, sistematske napake

Enaka analiza za okusno specifična končna stanja, kjer ne sme biti asimetrije

$$B^0 \rightarrow D^{*\pm} \pi^\mp \quad B^0 \rightarrow J/\psi K^{*0}, \quad K^{*0} \rightarrow K^+ \pi^- \quad B^0 \rightarrow D^{*\ell\nu}$$



"sin 2φ₁" = 0.035 ± 0.032 "sin 2φ₁" = −0.021 ± 0.093 "sin 2φ₁" = 0.004 ± 0.017

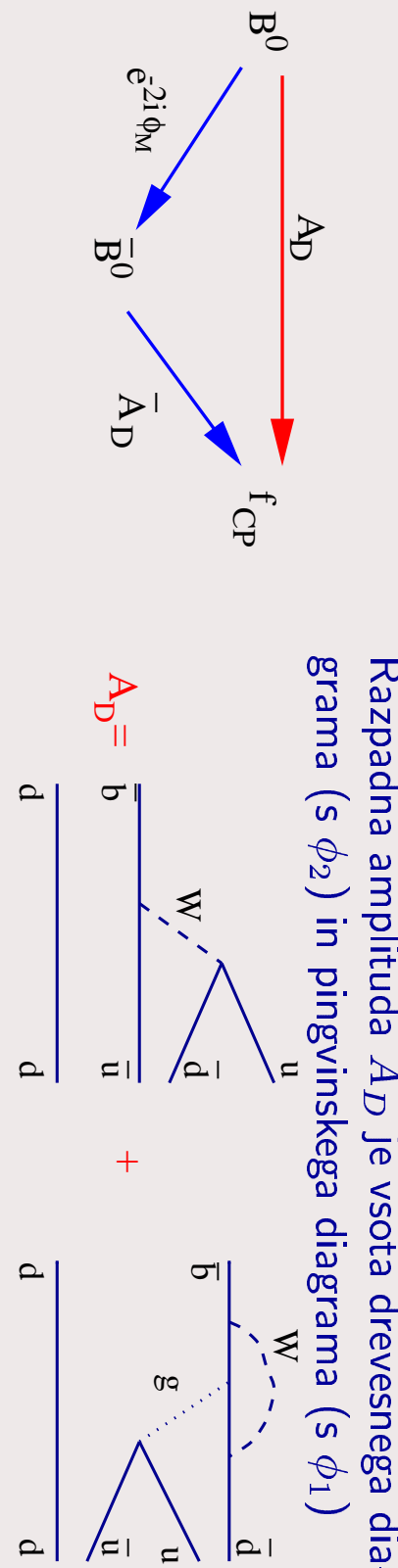
Sistematske napake:

meritev verteksa	0.022	resolucijska funkcija	0.014
predsodek v prilagajanju sin 2φ ₁	0.011	delež ozadja v J/ψ K _L	0.010
Δm _d	< 0.010	τ _B	< 0.010





Kršitev CP pri prehodu $b \rightarrow u\bar{u}d$



$$S_{\pi\pi} \sin \Delta m_d \Delta t + A_{\pi\pi} \cos \Delta m_d \Delta t$$

with

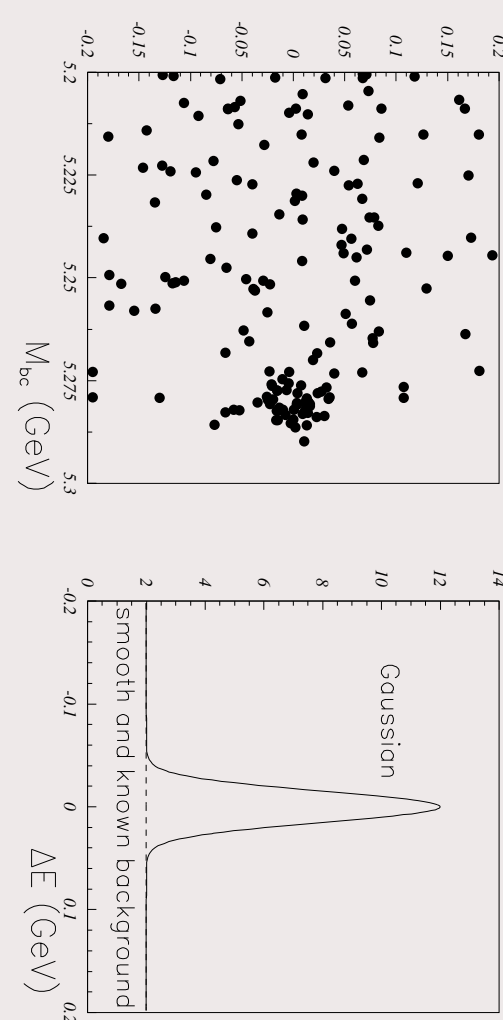
$$S_{\pi\pi} \neq \sin 2\phi_2$$

$$A_{\pi\pi} \neq 0$$

$\rightarrow |\lambda_{\pi\pi}| \neq 1$ in $\Gamma(B^0 \rightarrow \pi^+\pi^-) \neq \Gamma(\bar{B}^0 \rightarrow \pi^+\pi^-)$ (direktna CP kršitev)

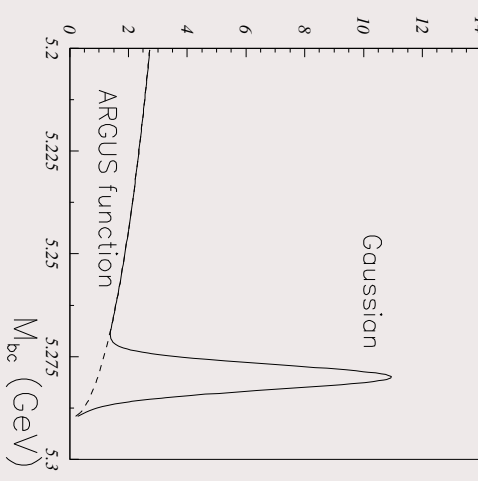


Metoda za rekonstrukcijo razpadov mezonov B



Dve količini v tešičnem sistemu:

- ❖ $\Delta E = E(B_{\text{candidate}}) - E_{\text{beam}}$
- ❖ $M_{bc} = \sqrt{E_{\text{beam}}^2 - \vec{p}_{B_{\text{candidate}}}^2}$





Rekonstrukcija $B^0 \rightarrow \pi^+ \pi^-$

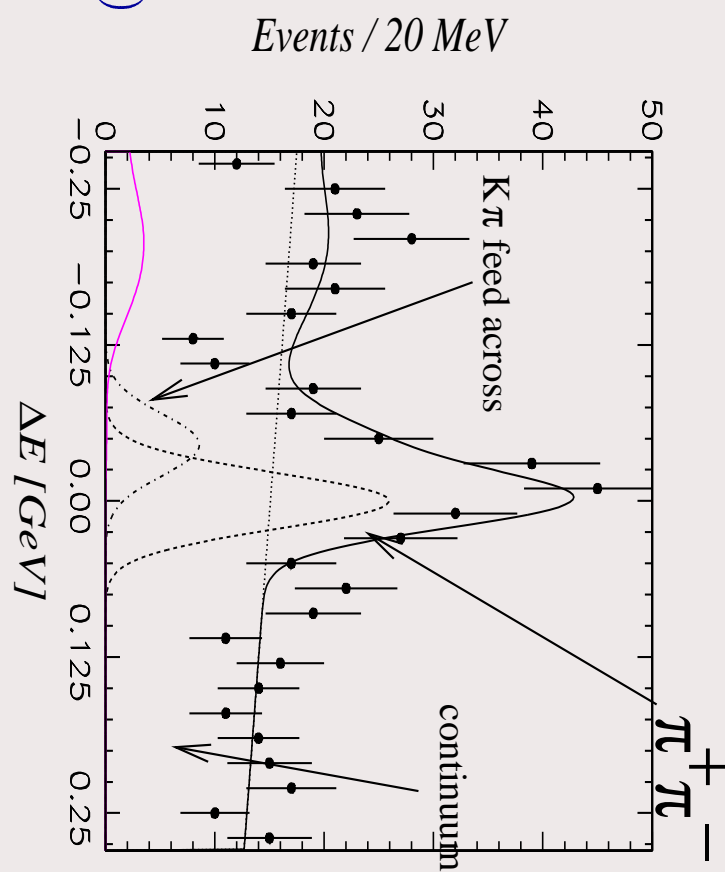


Signalno območje:

- ◆ $5.271\text{GeV}/c^2 < M_{bc} < 5.287\text{GeV}/c^2$
- ◆ $|\Delta E| < 0.067 \text{ GeV}$

$$N(\pi\pi) = 73.5 \pm 13.8 \text{ dogodkov}$$

($28.4 \pm 12.5 \text{ } K\pi$, napačno identificirani)

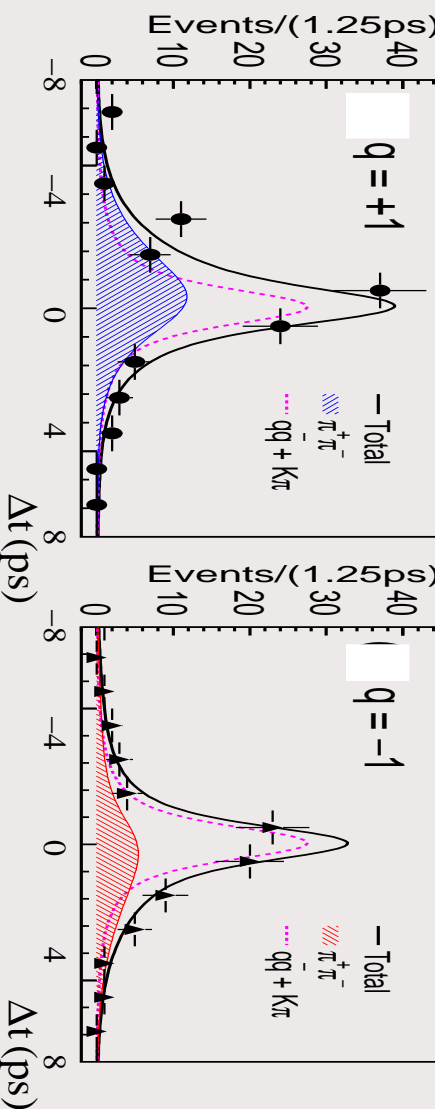


porazdelitev po ΔE po rezu na M_{bc}

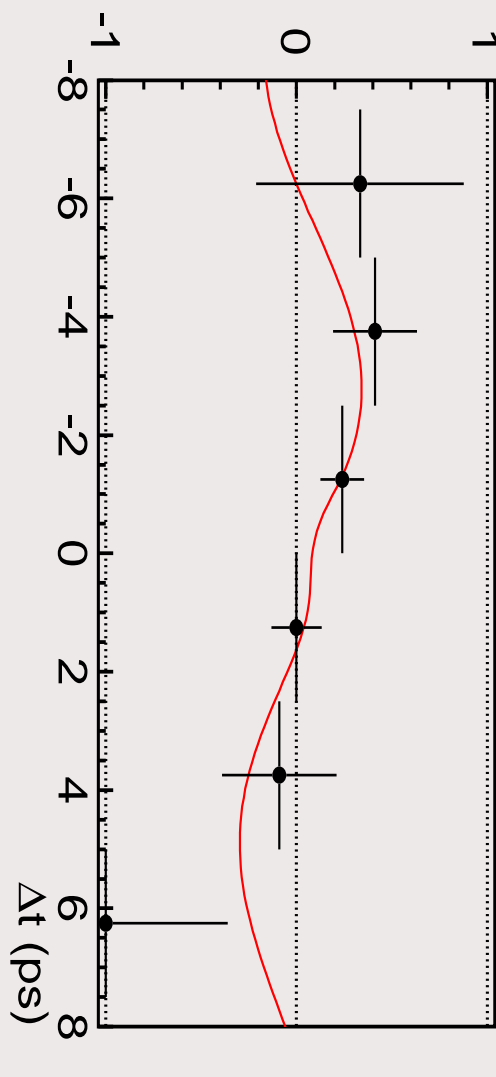


Porazdelitev po Δt za $B^0 \rightarrow \pi^+ \pi^-$

$\bar{B}^0 \rightarrow \pi^+ \pi^-$ $B^0 \rightarrow \pi^+ \pi^-$



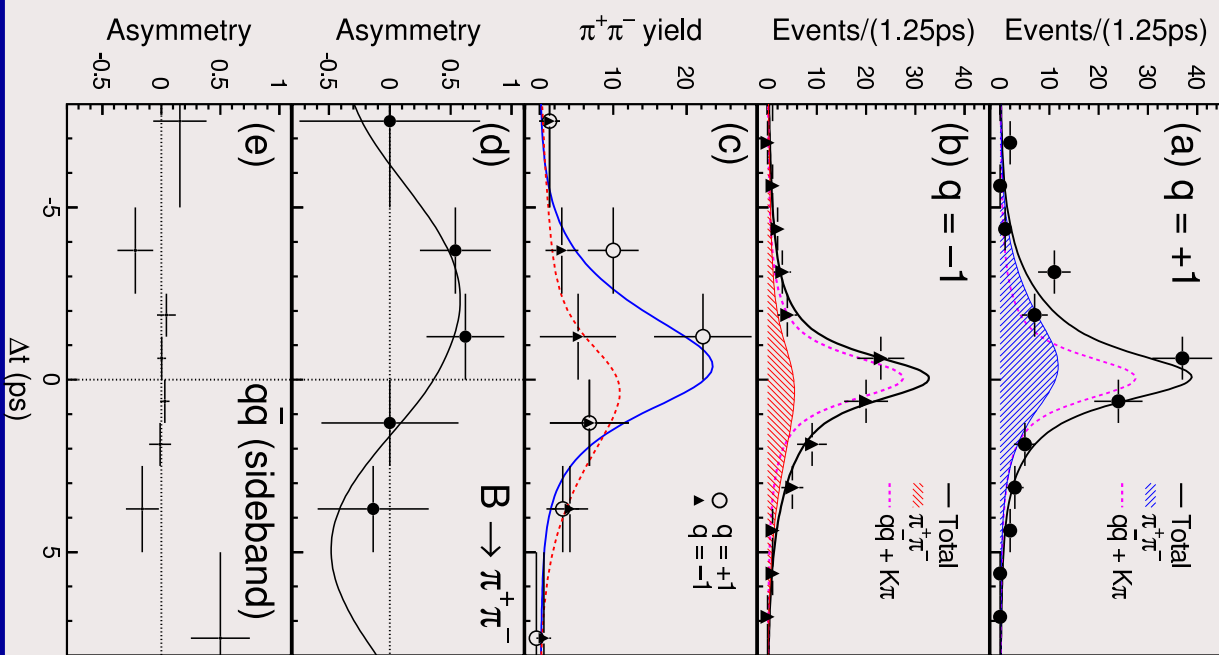
Asymmetry



Asimetrija



Kršitev CP : $S_{\pi\pi}$ in $A_{\pi\pi}$



$A_{\pi\pi} \neq 0 \rightarrow$ direktna kršitev CP ,
 $\Gamma(B^0 \rightarrow \pi^+\pi^-) \neq \Gamma(\bar{B}^0 \rightarrow \pi^+\pi^-)$

$A_{\pi\pi} > 0$ z 99.6% CL.
 $S_{\pi\pi} < 0$ z 99.6% CL.

$$A_{\pi\pi} = +0.94^{+0.25}_{-0.31} \pm 0.09$$

$$S_{\pi\pi} = -1.21^{+0.38+0.16}_{-0.27-0.13}$$

(vzorec podatkov 41.8 fb^{-1})



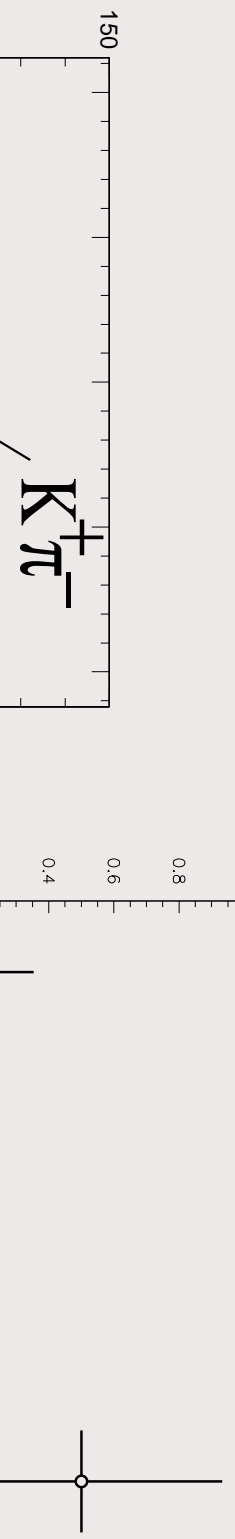
Test: $B^0 \rightarrow K^- \pi^+$



✓ tem kanalu ne pričakujemo asimetrije, zato ga uporabimo kot test metode.

$$N(K\pi) = 289.5 \pm 21.5$$

Izmerjena asimetrija



$K^+\pi^-$

$\pi\pi$ feed across



konsistentna z ničelno asimetrijo

$$S_{K\pi} = 0.15 \pm 0.24$$

$$A_{K\pi} = 0.07 \pm 0.17$$



Zaključek



- ♦ Spektrometer Belle ob trkalniku KEKB je nabral 89.6 fb^{-1} podatkov (oziroma 85 milijonov razpadov parov $B\bar{B}$)

- ♦ Izmerili smo parametre asimetrije zaradi kršitve CP

$$S_{ccs} = 0.719 \pm 0.074 \pm 0.035, |\lambda_{ccs}| = 0.950 \pm 0.046 \pm 0.026$$

$$S_{\pi\pi} = -1.21^{+0.38+0.16}_{-0.27-0.13}, A_{\pi\pi} = +0.94^{+0.25}_{-0.31} \pm 0.09 \text{ (na polovični statistiki)}$$

- ♦ Imamo precej novih načrtov!

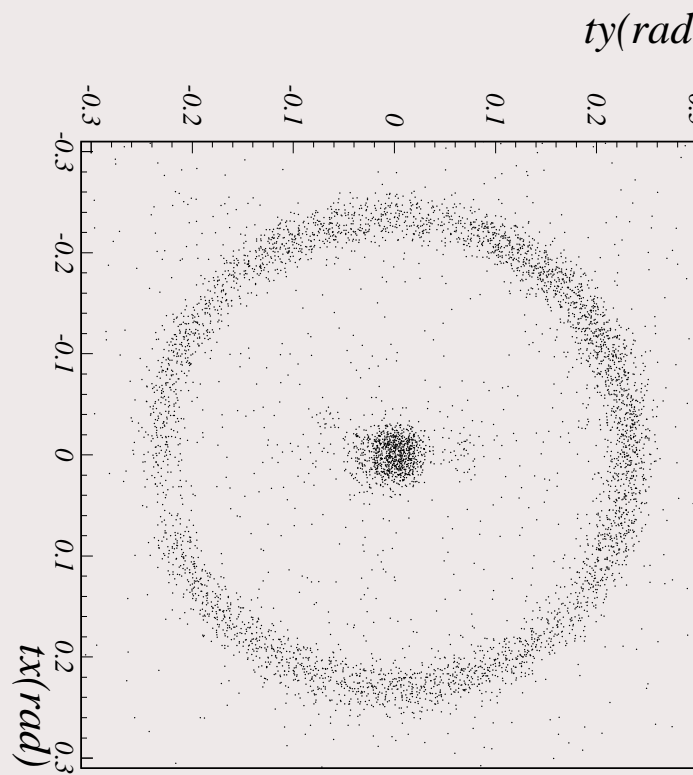




Izboljšave detektorja

Študij nove metode za identifikacijo nabitih delcev - seveda nov tip Čerenkovga detektorja z aerogelom kot sevalcem

Nadgradnja silicijevega mikropasovnega detektorja verteksov



Čerenkovi obroči za pione ($p=3 \text{ GeV}/c$)





Kršitev simetrije CP pri mezonih B

Kršitev simetrije CP pri mezonih B : potencialno velik efekt zaradi interference amplitud za direktni razpad v končno stanje f_{CP} z določeno vrednostjo parnosti CP in razpad po mešanju.

To povzroči asimetrijo v verjetnosti za razpad:

$$\begin{aligned} B^0 &\xrightarrow{\text{A}_D} f_{CP} \\ \bar{e}^{-2i\phi_M} &\xrightarrow{\bar{B}^0} \bar{\text{A}}_D \end{aligned}$$

$$= A_f \cos \Delta m_d t + S_f \sin \Delta m_d t$$

$$A_{CP}(t) \equiv \frac{\Gamma(\bar{B}^0(t) \rightarrow f_{CP}) - \Gamma(B^0(t) \rightarrow f_{CP})}{\Gamma(\bar{B}^0(t) \rightarrow f_{CP}) + \Gamma(B^0(t) \rightarrow f_{CP})}$$

Napovedi Standardnega Modela

		$b \rightarrow c\bar{s}$	$b \rightarrow c\bar{d}$	$b \rightarrow s\bar{s}$	$b \rightarrow u\bar{d}$
		$J/\psi K_S$	$J/\psi \pi^0$	ϕK_S	$\pi^+ \pi^-$
example	A_f	0	0	small	$\neq 0$
	S_f	$\sin 2\phi_1$	$\sin 2\phi_1$	$\sin 2\phi_1$	" $\sin 2\phi_2$ "

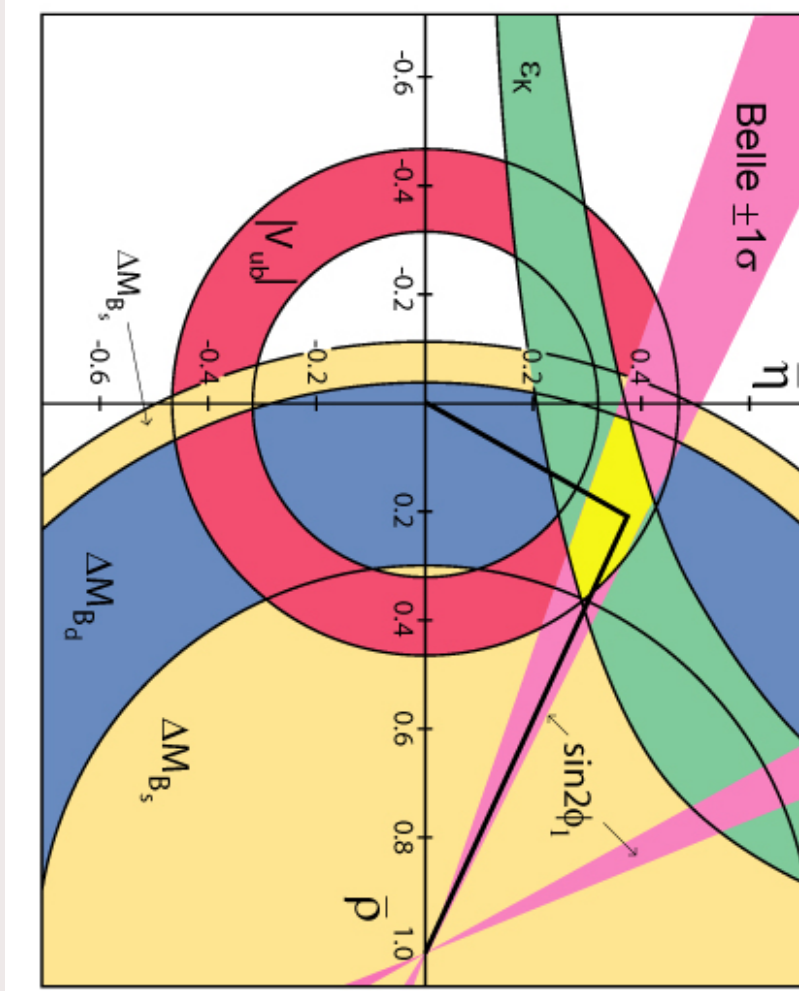
$$\lambda_f \equiv e^{-2i\phi_M} \frac{\text{A}_D(\bar{B} \rightarrow f_{CP})}{\text{A}_D(B \rightarrow f_{CP})}$$

Pozor! $A_f \neq 0 \rightarrow \Gamma(\bar{B} \rightarrow f_{CP}) \neq \Gamma(B \rightarrow f_{CP})$

→ direktna CP kršitev CP



$\rho - \eta$ ravnina



- ❖ Trikotnik: kot ga doličajo druge meritve
- ❖ Belle: pričujoča meritve
 $\sin 2\phi_1$





Rekonstrukcija $B^0 \rightarrow (c\bar{c})K_S$



$K_S \rightarrow \pi^+ \pi^-$
 $\sigma_M = 4.1 \text{GeV}/c^2$

